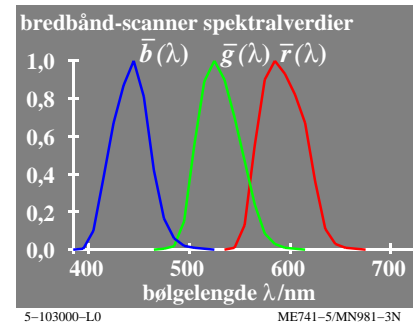
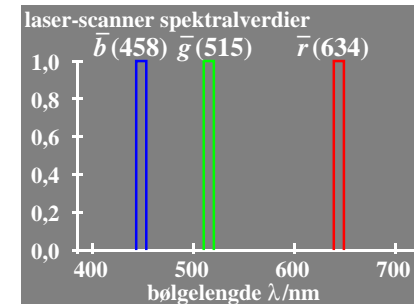
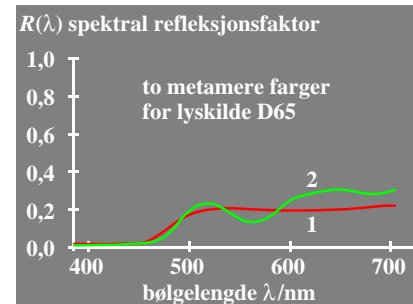
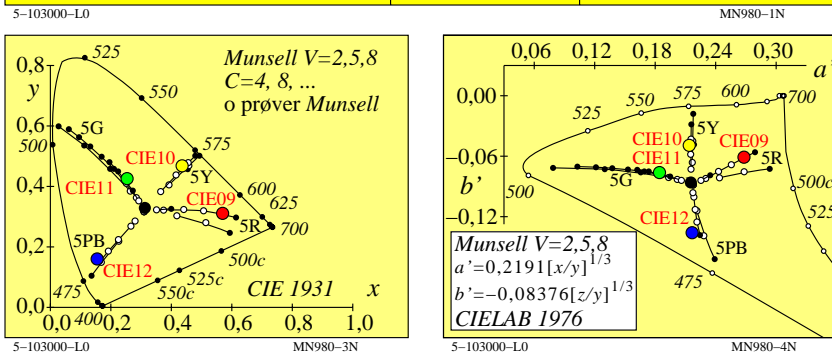


farge-egenskaper til den lavere og høyere fargemetrikk		type fargeblanding	
		dikromatisk	trikromatisk
lavere farge- eller valensmetrikk		(for $Y_- \geq B_-$)	(for $R_- \geq G_- \geq B_-$)
hvitverdi	W	B_-	B_-
sortverdi	N	$100 - Y_-$	$100 - R_-$
kulørverdi	C	$Y_- - B_-$	$R_- - B_-$
høyere farge- eller fornemmelsesmetrikk		(for $Y^*_- \geq B^*_-$)	(for $R^*_- \geq G^*_- \geq B^*_-$)
hvitthet	W^*	B^*_-	B^*_-
sortthet	N^*	$100 - Y^*_-$	$100 - R^*_-$
kulørthet	C^*	$Y^*_- - B^*_-$	$R^*_- - B^*_-$



Fargegjengivelses-indeks R_i av de to metamere BAM-scanner prøvefarger

scanner	TC farge gjengi- indeks	fargedif- vels indeks	feranse
bredbånd	1	82	3
	2	84	
laser	1	63	10
	2	69	
ideell	1	100	0
	2	100	

D65, fargejustering med hvitt papir

lavere fargemetrikk (fargedata: lineær relasjon til CIE 1931 data)

lineære fargebetegnelser	navn og sammenheng med CIE tristimulus- eller kromatisitetsverdier	merknader
tristimulus-verdier	X, Y, Z	
kulørverdi	lineært kulørverdi diagram (A, B)	$n=D65$
rød-grønn	$A = [X/Y - X_n/Y_n] Y = [a - a_n] Y$ $= [x/y - x_n/y_n] Y$	(omfelt)
gul-blå	$B = -0,4 [Z/Y - Z_n/Y_n] Y = [b - b_n] Y$ $= -0,4 [z/y - z_n/y_n] Y$	
radiell	$C_{AB} = [A^2 + B^2]^{1/2}$	
kromatisitet	lineært kromatisitetsdiagram (a, b)	sammenlign med li- neær tappe-eksitasjon
rød-grønn	$a = X/Y = x/y$	$L/(L+M) = P/(P+D)$
gul-blå	$b = -0,4 [Z/Y] = -0,4 [z/y]$	$S/(L+M) = T/(P+D)$
radiell	$c_{ab} = [(a - a_n)^2 + (b - b_n)^2]^{1/2}$	

høyere fargemetrikk (fargedata: ikke-lineær relasjon til CIE 1931 data)

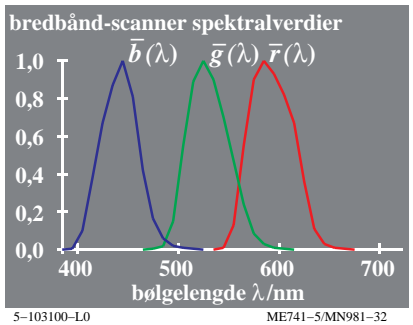
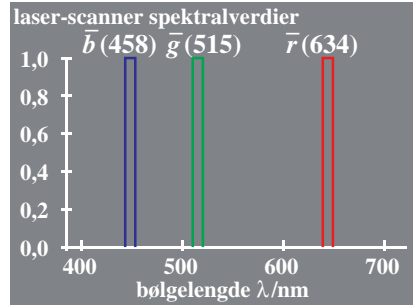
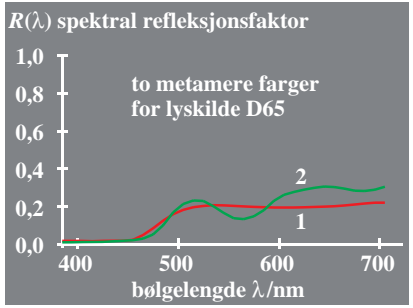
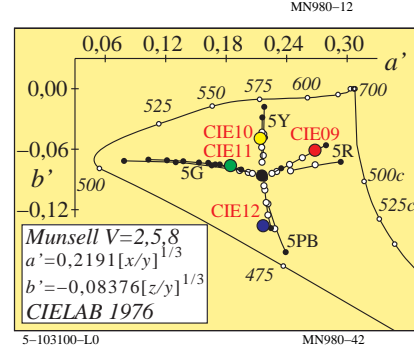
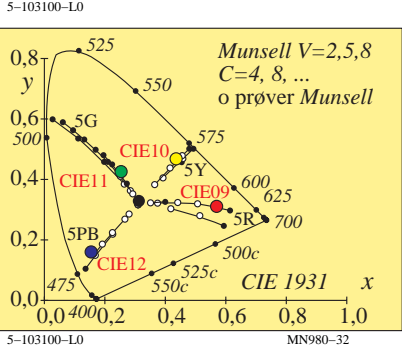
ikke-lineære størrelser	navn og sammenheng med tristimulus- eller kromatisitetsverdier	merknader
lyshet	$L^* = 116 (Y/100)^{1/3} - 16 \quad (Y > 0,8)$ tilnærming: $L^* = 100 (Y/100)^{1/2,4} \quad (Y > 0)$	CIELAB 1976
kulørthet	ikke-lineær transformasjon av kulørverdier A, B	
rød-grønn	$a^* = 500 [(X/X_n)^{1/3} - (Y/Y_n)^{1/3}]$ $= 500 (a' - a'_n) Y^{1/3}$	CIELAB 1976
gul-blå	$b^* = 200 [(Y/Y_n)^{1/3} - (Z/Z_n)^{1/3}]$ $= 500 (b' - b'_n) Y^{1/3}$	CIELAB 1976
radiell	$C^*_{ab} = [a^{*2} + b^{*2}]^{1/2}$	$n=D65$ (omfelt)
kromatisitet	ikke-lineær transformasjon av kromatisiteter x/y, z/y	sammenlign med log tappe-eksitasjon
rød-grønn	$a' = (1/X_n)^{1/3} (x/y)^{1/3}$ $= 0,2191 (x/y)^{1/3}$ for D65	$\log[L / (L+M)]$
gul-blå	$b' = -0,4 (1/Z_n)^{1/3} (z/y)^{1/3}$ $= -0,08376 (z/y)^{1/3}$ for D65	$= \log[P / (P+D)]$
radiell	$c'_{ab} = [(a' - a'_n)^2 + (b' - b'_n)^2]^{1/2}$	$\log[S / (L+M)]$ $= \log[T / (P+D)]$

se lignende filer: http://farbe.li.tu-berlin.de/MN98/MN98.HTM
 http://130.149.60.45/~farbmetrik eller http://farbe.li.tu-berlin.de

TUB registrering: 20190801-MN98/MN98L0FP.PDF /.PS
 anvendelse for måling av display output, ingen separasjon

TUB materiell: code=rh4ta

farge-egenskaper til den lavere og høyere fargemetrikk		type fargeblanding	
		dikromatisk	trikromatisk
lavere farge- eller valensmetrikk		(for $Y_{dd} \geq B_{dd}$)	(for $R_{dd} \geq G_{dd} \geq B_{dd}$)
hvitverdi	W	B_{dd}	B_{dd}
sortverdi	N	$100 - Y_{dd}$	$100 - R_{dd}$
kulørverdi	C	$Y_{dd} - B_{dd}$	$R_{dd} - B_{dd}$
høyere farge- eller fornemmelsesmetrikk		(for $Y^*_{dd} \geq B^*_{dd}$)	(for $R^*_{dd} \geq G^*_{dd} \geq B^*_{dd}$)
hvithet	W^*	B^*_{dd}	B^*_{dd}
sorthet	N^*	$100 - Y^*_{dd}$	$100 - R^*_{dd}$
kulørthet	C^*	$Y^*_{dd} - B^*_{dd}$	$R^*_{dd} - B^*_{dd}$



Fargegjengivelses-indeks R_i av de to metamere BAM-scanner prøvefarger			
scanner	TC	farge gjengi- indeks	fargedif- vels indeks
bredbånd	1	82	3
	2	84	
laser	1	63	10
	2	69	
ideell	1	100	0
	2	100	

D65, fargejustering med hvitt papir

lavere fargemetrikk (fargedata: lineær relasjon til CIE 1931 data)		
lineære fargebetegnelser	navn og sammenheng med CIE tristimulus- eller kromatisitetsverdier	merknader
tristimulus-verdier	X, Y, Z	
kulørverdi	lineært kulørverdi diagram (A, B)	$n=D65$
rød-grønn	$A = [X/Y - X_n/Y_n] Y = [a - a_n] Y$ $= [x/y - x_n/y_n] Y$	(omfelt)
gul-blå	$B = -0,4 [Z/Y - Z_n/Y_n] Y = [b - b_n] Y$ $= -0,4 [z/y - z_n/y_n] Y$	
radiell	$C_{AB} = [A^2 + B^2]^{1/2}$	
kromatisitet	lineært kromatisitetsdiagram (a, b)	sammenlign med lineær tappe-eksitasjon
rød-grønn	$a = X/Y = x/y$	
gul-blå	$b = -0,4 [Z/Y] = -0,4 [z/y]$	
radiell	$c_{ab} = [(a - a_n)^2 + (b - b_n)^2]^{1/2}$	$L/(L+M) = P/(P+D)$ $S/(L+M) = T/(P+D)$

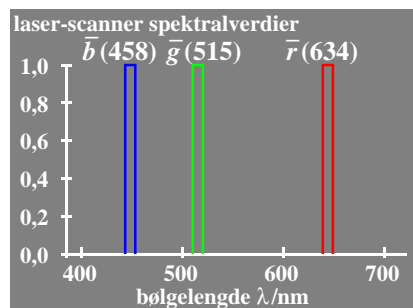
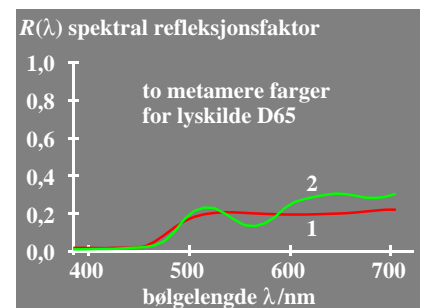
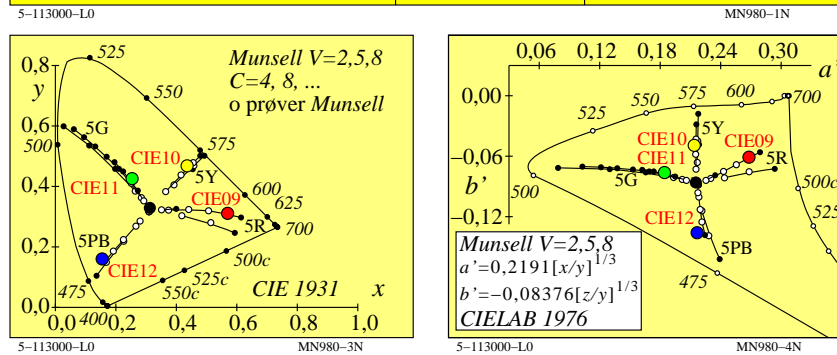
høyere fargemetrikk (fargedata: ikke-lineær relasjon til CIE 1931 data)		
ikke-lineære størrelser	navn og sammenheng med tristimulus- eller kromatisitetsverdier	merknader
lyshet	$L^* = 116 (Y / 100)^{1/3} - 16 \quad (Y > 0,8)$ tilnærming: $L^* = 100 (Y / 100)^{1/2,4} \quad (Y > 0)$	CIELAB 1976
kulørthet	ikke-lineær transformasjon av kulørverdier A, B	
rød-grønn	$a^* = 500 [(X / X_n)^{1/3} - (Y / Y_n)^{1/3}]$ $= 500 (a' - a'_n) Y^{1/3}$	CIELAB 1976
gul-blå	$b^* = 200 [(Y / Y_n)^{1/3} - (Z / Z_n)^{1/3}]$ $= 500 (b' - b'_n) Y^{1/3}$	CIELAB 1976
radiell	$C^*_{ab} = [a^{*2} + b^{*2}]^{1/2}$	$n=D65$ (omfelt)
kromatisitet	ikke-lineær transformasjon av kromatisiteter x/y, z/y	sammenlign med log tappe-eksitasjon
rød-grønn	$a' = (1 / X_n)^{1/3} (x / y)^{1/3}$ $= 0,2191 (x / y)^{1/3}$ for D65	
gul-blå	$b' = -0,4 (1 / Z_n)^{1/3} (z / y)^{1/3}$ $= -0,08376 (z / y)^{1/3}$ for D65	
radiell	$c'_{ab} = [(a' - a'_n)^2 + (b' - b'_n)^2]^{1/2}$	$\log[L / (L+M)]$ $= \log[P / (P+D)]$ $\log[S / (L+M)]$ $= \log[T / (P+D)]$

se lignende filer: <http://farbe.li.tu-berlin.de/MN98/MN98.HTM>
<http://130.149.60.45/~farbmetrik> eller <http://farbe.li.tu-berlin.de>

TUB registrering: 20190801-MN98/MN98L0FP.PDF /.PS
 anvendelse for måling av display output

TUB materiell: code=rh4ta

farge-egenskaper til den lavere og høyere fargemetrikk		type fargeblanding	
		dikromatisk	trikromatisk
lavere farge- eller valensmetrikk		(for $Y_- \geq B_-$)	(for $R_- \geq G_- \geq B_-$)
hvitverdi	W	B_-	B_-
sortverdi	N	$100 - Y_-$	$100 - R_-$
kulørverdi	C	$Y_- - B_-$	$R_- - B_-$
høyere farge- eller fornemmelsesmetrikk		(for $Y^*_- \geq B^*_-$)	(for $R^*_- \geq G^*_- \geq B^*_-$)
hvitthet	W^*	B^*_-	B^*_-
sortthet	N^*	$100 - Y^*_-$	$100 - R^*_-$
kulørthet	C^*	$Y^*_- - B^*_-$	$R^*_- - B^*_-$



lavere fargemetrikk (fargedata: lineær relasjon til CIE 1931 data)		
lineære fargebetegnelser	navn og sammenheng med CIE tristimulus- eller kromatisitetsverdier	merknader
tristimulus-verdier	X, Y, Z	
kulørverdi	lineært kulørverdi diagram (A, B)	$n=D65$
rød-grønn	$A = [X/Y - X_n/Y_n] Y = [a - a_n] Y$ $= [x/y - x_n/y_n] Y$	(omfelt)
gul-blå	$B = -0,4 [Z/Y - Z_n/Y_n] Y = [b - b_n] Y$ $= -0,4 [z/y - z_n/y_n] Y$	
radiell	$C_{AB} = [A^2 + B^2]^{1/2}$	
kromatisitet	lineært kromatisitetsdiagram (a, b)	sammenlign med lineær tappe-eksitasjon
rød-grønn	$a = X/Y = x/y$	
gul-blå	$b = -0,4 [Z/Y] = -0,4 [z/y]$	
radiell	$c_{ab} = [(a - a_n)^2 + (b - b_n)^2]^{1/2}$	$L/(L+M) = P/(P+D)$ $S/(L+M) = T/(P+D)$

høyere fargemetrikk (fargedata: ikke-lineær relasjon til CIE 1931 data)		
ikke-lineære størrelser	navn og sammenheng med tristimulus- eller kromatisitetsverdier	merknader
lyshet	$L^* = 116 (Y/100)^{1/3} - 16 \quad (Y > 0,8)$ tilnærming: $L^* = 100 (Y/100)^{1/2,4} \quad (Y > 0)$	CIELAB 1976
kulørthet	ikke-lineær transformasjon av kulørverdier A, B	
rød-grønn	$a^* = 500 [(X/X_n)^{1/3} - (Y/Y_n)^{1/3}]$ $= 500 (a' - a'_n) Y^{1/3}$	CIELAB 1976
gul-blå	$b^* = 200 [(Y/Y_n)^{1/3} - (Z/Z_n)^{1/3}]$ $= 500 (b' - b'_n) Y^{1/3}$	CIELAB 1976
radiell	$C^*_{ab} = [a^{*2} + b^{*2}]^{1/2}$	$n=D65$ (omfelt)
kromatisitet	ikke-lineær transformasjon av kromatisiteter x/y, z/y	sammenlign med log tappe-eksitasjon
rød-grønn	$a' = (1/X_n)^{1/3} (x/y)^{1/3}$ $= 0,2191 (x/y)^{1/3}$ for D65	
gul-blå	$b' = -0,4 (1/Z_n)^{1/3} (z/y)^{1/3}$ $= -0,08376 (z/y)^{1/3}$ for D65	
radiell	$c'_{ab} = [(a' - a'_n)^2 + (b' - b'_n)^2]^{1/2}$	$\log[L/(L+M)]$ $= \log[P/(P+D)]$ $\log[S/(L+M)]$ $= \log[T/(P+D)]$

